

## 졸-겔법에 의한 金屬基板上的 $\beta$ -spodumene 結晶化유리의 薄膜塗布와 遠赤外線放射特性

梁重植\*, 申鉉澤\*\*, 朴種玉\*\*\*

\*慶熙大學校, \*\*慶尙大學校, \*\*\* 窯業技術院

## The Effect of Far Infrared Radiation of $\beta$ -Spodumene Glass-Ceramics Flims Coated on Iron Substrate by Sol-Gel Technique

J. S. Yang\*, H. T. Shin\*\*, and J. O. Park\*\*\*

\*Kyung Hee University, \*\*Kyung Sang University,

\*\*\* Institute of ceramic Technology NITI

### Abstract

Films of glass-ceramics  $\text{Li}_2\text{O}-\text{Al}_2\text{O}_3-\text{SiO}_2$  (LAS) system were prepared on substrate of an iron plate (SCP) by sol-gel technique using metal alkoxide such as  $\text{Si}(\text{OC}_2\text{H}_5)_4$ ,  $\text{Al}(\text{OC}_2\text{H}_5)_3$  and  $\text{Ti}(\text{OC}_2\text{H}_5)_4$ . Sol which was made by means of simple spray coating, on the substrate was hydrolyzed at  $75\sim 80^\circ\text{C}$  in moisture cabinet. ( $80\sim 90\%$  humidity) to form the multicomponent gel. The films up to about  $0.8\sim 1.0\mu\text{m}$  in thickness can be obtained by repeating operation, spray  $\rightarrow$  hydrolysis and condensation  $\rightarrow$  drying  $\rightarrow$  heating and crystallization at  $700^\circ\text{C}$  for  $3\sim 5\text{min}$ . The far-infrared radiation spectra of the coated films on substrate were examined by FT-IR and of films was also observed by scanning electron micrograph technique. The thermal evaluation of the gel-film is followed by TG/DTA measurements. The structure evaluation is followed X-ray diffraction. These results suggest that this process is applicable to far-infrared radiat as thin film technique.

### 1. 緒論

金屬, 세라믹스 또는 유리材料表面에 特性을 附與할 目的으로 特種물질의 얇은 막을 塗布하게 되는데, 塗布物質이나 基板에 따라 眞空蒸着, ion plating, sputtering, CVD, CVT, 基板氣相 및 基板液相方法 등이 活用되고 있다<sup>1-3)</sup>. 最近에는 金屬알루미늄의 물은 溶液을 出發原料로하여 졸-겔법으로 여러 種類의 基板에 얇은 薄膜을 塗布하여 機能을 附與하는 研究들이 發表되고 있다<sup>4-6)</sup>. 졸-

겔법에 의한 coating은 스프레이나 化學氣相 蒸着법에 비해서 器材의 형태나 크기에 影響을 받지 않을 뿐 아니라 操作도 簡便하고 生産效率이 높은 것 등의 特徵을 들 수 있다. 졸-겔법으로 연구되어 온  $\text{SiO}_2$  및 규산염 이외에  $\text{ZnO}-\text{SnO}_2$ ,  $\text{BaTiO}_3$ ,  $\text{KTaO}_3$ ,  $\text{LiNO}_3$ ,  $\text{PbZrO}_3$ ,  $\text{PbO}-\text{La}_2\text{O}_3-\text{ZrO}_2-\text{TiO}_2$  계 誘電體등이 包含되어 있다. 졸-겔법은 금속알루미늄 또는 水溶性이거나 알코올性化合物을 含有하는 물은 용액을 噴霧機를 사용하면 比較的 簡單하고 容易하게 얇은 기판 전체에 균일하게 塗布할

수 있고, 또한 原料로 機械的, 化學的 保護, 光學特性, 電氣的特性, 觸媒特性 등의 새로운 機能特性을 基판에 附與하는 것이 可能하여 經濟的 및 工業的으로도 매우 有利하다<sup>7)</sup>.

1970年頃에 졸-겔법이 시작된 이래 졸-겔법을 이용한 新材料의 應用에서 最初로 實用화된 時期로, 獨逸의 Schott社가 板유리상에 反射膜塗布가 最初의 實用化이며, 現在는 各國에서 유리에 대한 反射膜, 反射防止膜, 着色膜 등에 폭 넓게 實用화되고 있다<sup>8, 9)</sup>.

겔의 塗布膜이 酸化物로된 硅酸鹽化合物이나 유리기판에 結合되는 것은 이들의 表面에 生成된  $-SiOH$ 와 coating膜의  $-OH$ 基에 의하여  $H_2O$ 로 脫水 및 酸素와 架橋하면서  $-Si(유리)---O---M(膜中の 金屬原子)-$ 形의 結合이 생기기 때문이다. 金屬基板에 졸-겔방법으로 겔이 coating되는 것도 같은 原理로 결합되기 때문에 金屬表面에 졸을 塗布하면 그 表面에 있는  $-OH$ 가 앞에서 說明한 바와 같은 反應으로  $-M(金屬酸化中の 金屬)-O---M(膜中の 金屬原子)-$ 의 結合이 생성되는 것으로 생각된다<sup>6)</sup>.

本 研究에서는 珪瑯用的 鐵板을 이용하여 前處理한 철기판에 졸-겔방법으로 금속알루미늄의 용액을 spray법으로 塗布하고 다시 加水分解 및 重縮合反應을 시킨 후에  $300\sim 700^\circ C$ 로 熱處理하여 유리 또는 結晶化시켰을 때에 薄膜이 形成된 철판의 遠赤外線放射特性을 檢討한 것이다.

本 연구의 基本目的은 遠赤外線放射率이 0.4(黑體는 1.0)보다 낮은 鐵板素地の 放射率을 改善시키고자 철판표면에 比較적 방사율이 높은  $Li_2O-Al_2O_3-SiO_2$ (LAS)계 유리를  $1\mu m$ 정도의 얇은 膜을 形成시키는 방법으로 졸-겔법을 應用한 基礎研究이다. 本 실험에서는 알코올성 금속알루미늄의 LAS계 졸-용액을 분무-塗布하여 공기중의 濕氣로 加水分解시켜  $500\sim 700^\circ C$ 의 지온에서  $1\mu m$ 이하의 LAS계 유리 및  $\beta$ -spodumene結晶인 酸化膜을 形成시킬 수 있었고, 薄膜이 형성된 철판의 放射率을 0.8이상으로 向上시킬수가 있었다. 本 方法으로 철판기판상에 세라믹스 薄膜을 塗布하여 철판의 酸化防止에도 效果가 있을 뿐아니라 遠赤外線放射效果가 確認되어 원적외선 放射板으

로서 用途가 期待된다.

## 2. 實驗方法

### 2.1 出發物質

#### 2.1.1 金屬素地

被膜用鐵板은 炭素含量이 적은 KSD 3512(冷間壓延鋼板 및 鋼帶)의 SCP素地金屬을 사용하였다. 本 실험에서 사용한 강판의 두께는  $1.2(\pm 0.1)$  mm, 시편의 크기는  $30mm \times 30mm$ 로 切斷하여 사용하였다.

金屬素地の 表面處理를 위하여 먼저 無機溶媒法으로 水酸化칼슘(20 g), 炭酸나트륨(25 g)과 界面活性劑로서 물유리를 0.3%添加한 溶液의 溫度를  $75\sim 80^\circ C$ 로 維持하면서 20分間 침적시켜서 脫脂를 完了하였다. 脫脂後 증류수로 洗滌을 마치고 黃酸 8(%)의  $70\sim 80^\circ C$  水溶液에서 15分間 酸處理하고 다시 약  $80^\circ C$ 의 溫水로 水洗하여 산을 完全除去하였다. 生成 film이 酸化物과 化學的 密着의 促進을 위하여 密着促進劑로서 作用하는 金屬 鐵表面에 침적鍍金시키고자 黃酸니켈 1.45(%)가 含有된  $70^\circ C$ 의 수용액으로 10分間 침적시켰다. 세척방법은 앞의 T程과 동일한 方法을 擇하였고 中和 處理方法은 硼砂(1%)와 炭酸나트륨(1%)의 中和液을 만든 다음  $70\sim 80^\circ C$ 로 가열하여 약 5分 침적시켰다. 중화 후 바로  $120\sim 130^\circ C$ 의 乾燥機內서 건조한 후 眞空 desiccator중에 保管하여 金屬素地試片으로 使用하였다.

#### 2.1.2 졸溶液의 合成

主原料로 사용한 試藥中  $SiO_2$ 는  $Si(OC_2H_5)_4$ ; tetraethyl orthosilicate (TEOS),  $Al_2O_3$ 은 aluminium sec-butoxide(ASB),  $TiO_2$ 는 tetrapropyl ortho-titanate(TOT),  $Li_2O$ 은 lithium methoxide(LMO) 등으로 Fluka製를, 溶媒로는 메틸알코올(MOH), 에틸알코올(EOH), 이소프로필알코올(IP-OH) 및 부틸알코올(BOH) 등으로 F.A.D(U.K) 제 99(%)이상의 것을 각각 사용하였다. 加水分解用 觸媒의 鹽酸은 Junsei Chem.35(%)를 사용하여 pH2의 水溶液으로 調製하여 사용하였다. spray용으로 사용한 알코올성 알루미늄 졸의 제

조공정을 Fig. 1에 나타냈다. 본 실험에서 사용한 裝置는 Fig. 2와 같이 가열과 攪拌이 同時에 可能한 磁氣 攪拌機 위에 水槽를 設置하고, 溫度計, pH-meter 그리고 원료투입을 위한 dropping funnel과 환류냉각기를 設置한 玻璃反應機에서 溶液反應을 行하였다. 각 工程마다 질소 雰囲気에서 30-2000분간 50~60°C로 加溫-攪拌하면서 混合 및 反應시켰다.

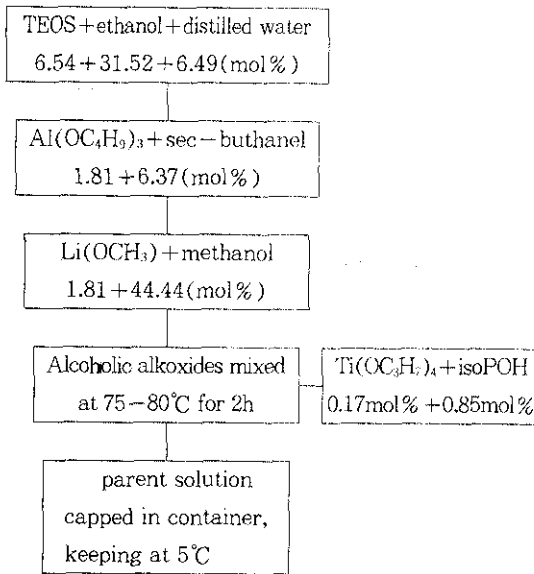


Fig. 1. Preparation process of sol for mixed alcoholic alkoxides solution.

本 實驗에서는 加水分解가 매우 느린 TEOS는 먼저 50~60°C에서 약 48시간 部分加水分解시켜서 사용하였다. 조합은 Fig. 1의 一阶段에서 나타낸 것과 같으며, 部分 가수분해에 사용한 물의 양은 가수분해에 필요한 理論量의 1/4을 첨가하였다. 본 공정에서 조제된 졸은 噴霧用的 母液(parent solu.)으로서 噴霧液은 母液을 다시 알코올로 10~15cp로 稀釋하여 사용하였다.

### 2. 1. 3 졸의 塗布 및 熱處理

졸-겔법으로 基板에 薄膜을 形成시키는 방법중 比較的 간단하고 均一한 塗布膜을 얻기 위해 乾拭된 鍍板上에 spray coating을 하였다. spray coating 방법으로 基板의 表面에 塗膜을 製作하기 위

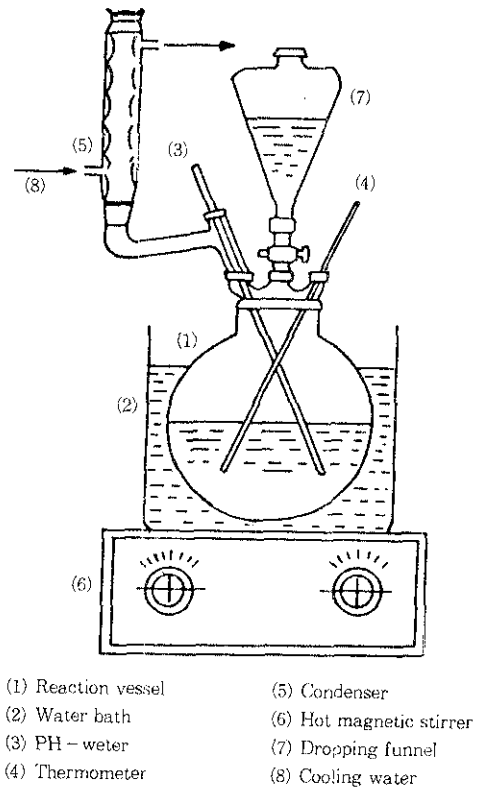


Fig. 2. Schematic apparatus of reactor.

해서 溶液의 spray(분무) → 加水分解 및 重縮合反應 → 乾燥 → 加熱-融着의 4阶段로 실시하였다. 均一하고 缺陷이 없는 강한 塗膜을 形成시키기 위해서 1回工程에서 얻을 수 있는 막의 두께를 1.0 μm이하가 되도록 졸의 점도는 15CP이하로 하여 噴霧機의 nozzle直徑이 0.1~0.12mm인 것을 사용하였고, 空氣壓을 1.20~1.40kg/cm<sup>2</sup>로 調整하여 약 2秒間 噴霧하였는데, 噴霧回數는 1, 3, 5回로 固定하였다. 塗布된 시편의 薄膜이 가수분해 및 증축합 반응이 잘 진행될 수 있도록 50°C 이상의 蒸氣cabinet에서 약 2시간 유지시키고, 다시 약 110°C의 건조기에서 약 1시간동안 건조시킨 뒤에 500~700°C의 온도에서 熱處理하였다. 熱處理方法은 所定溫度로 維持한 電氣가마에 試片을 넣어 약 3~5分 維持한 후 가마밖으로 내어 空氣中에서 急冷시켰다. 본 실험에서 실시한 薄膜塗布工程을 Fig. 3에 나타내었다.

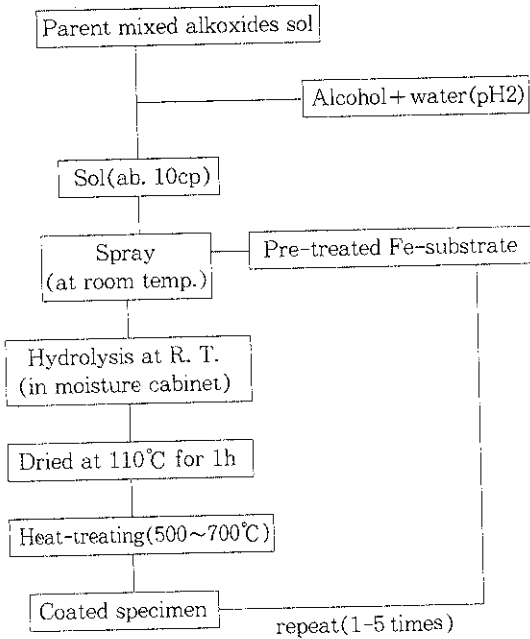


Fig. 3. Flow chart of spray coating process by sol-gel method.

2.2 示差熱分析(DTA) 및 加熱減量(TG)

졸용액을 鐵板에 코팅한 후 겔이 結晶化되는 溫度와 加熱溫度에 따른 重量變化를 確認하기 위해 TG-DTA 열분석을 行하였다. 測定試料는 졸을 겔화시켜 건조시킨 粉末을 120~200mesh로 체분한 質 30mg을 取하여 RIGAKU TAS 100으로 昇溫速度 10°C/min, 標準試料  $\alpha$ - $Al_2O_3$ 를 사용하여 空氣雰囲気에서 측정하였다.

2.3 走査電子顯微鏡(SEM)觀察 및 赤外線吸光分析

塗布膜의 두께와 表面狀態를 검토하기 위하여 SEM(AKASHI, DS-130 S Type)으로 5000~10000배로 확대하여 열처리온도에 따른 微細構造의 變化를 觀察하였다. 또한 乾燥겔 및 熱處理된 겔의 微細構造變化를 糾明하기 위하여 각 試料의 赤外線吸光 特性을 調査하였는데, 시료는 겔: KBr을 1:100으로 혼합하여 5~6톤으로 加壓成形하여 pellet로 만들어 使用하였다. 測定裝置는 JASCO의 FT-IR-5를 사용하여 400~4000 $cm^{-1}$  範圍를 측정하였다.

2.4 赤外線放射率 및 分光放射에너지

졸을 塗布한 후 熱處理에 따른 放射特性을 確認하기 위하여 FT-IR(BIO RADE DIGILAB, FTS-40)로 다음과 같은 條件으로 測定하였다.

標準黑體: WS 143(Electro optical industries Inc. Japen), 測定波長範圍: 2.5~25 $\mu m$ (400~4000  $cm^{-1}$ ), 分解能力: 8 $cm^{-1}$ , 溫度: 200°C.

各 試片의 分光放射 에너지密度는 赤外線放射率 測定結果로 부터 다음式에서 計算하여 얻었다<sup>(10-16)</sup>.

$$E_{R\lambda} = e^{\wedge} E_b = e^{\wedge} \frac{C_1 \lambda^{-5}}{\exp(C_2/\lambda T)} [w/cm^2 \mu m]$$

$E_{R\lambda}$ ; radation power of the substance at the wave length

$e^{\wedge}$ ; emissivity of the substance at the wave length

$E_b$ ; radiation power of the black body at the wave length

$\lambda$ ; wave length

T; absolute temperature

$C_1$ ; 3.7402 \* 10<sup>-2</sup> [ $cm^2$ ]

$C_2$ ; 1.43848 [cmk]

2.5 X-線回折(XRD)分析

졸을 鐵基板에 塗布하고 加水分解-重縮合反應 및 乾燥한 후 열처리온도에 따른 生成鑛物을 檢討하기 위하여 同一한 條件으로 기관에서 처리한 물질을 200~325mesh로 粉碎한 粉末을 XRD(RIGAKU)로 chart speed: 10°C/min, target: Cu K $\alpha$ , filter: Ni, tube voltage: 35kv, tube amp.: 13mV. 條件으로 測定하였다.

3. 實驗結果 및 考察

3.1 겔의 TG-DTA 分析

Fig. 4는 本 實驗에서 調製한 졸용액을 充分한 물(加水分解에 必要한 理論量의 2倍)로 겔화시키고 100°C에서 乾燥시킨 겔의 結果이다. Fig. 4에서 나타낸 바와 같이 DTA의 300°C부근의 發熱 peak는 加水分解反應이 일어나지 않은 一部分의 有

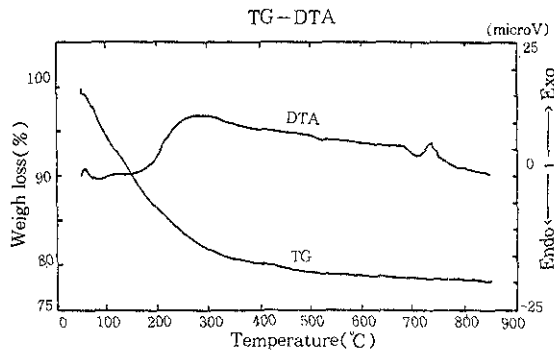


Fig. 4. TG/DTA curves of the dried gel (LAS).

機物の 酸化反應에 의한 것으로 생각되며, 750°C 附近의 發熱 피크는  $\beta$ -quartz solid solution(s.s)의 結晶生成으로 여겨진다. 또한 熱重量分析의 결과도 300°C 부근까지 約 23(%)의 급격한 減量을 나타내는 것은 有機物の 酸化, 分解 및 水分的 蒸發에 의한 것으로 여겨진다. 300~800°C까지 約 3% 감량을 나타내고 있는 것은 겔중에 잔유한 유기물의 분해로 發生한  $CO_2$ 에 의한 것으로 생각된다.

本 試驗結果를 參考하면 鐵 기판에 形成된 薄膜의 건조겔을 750°C 부근에서 熱處理하면 LAS系의 結晶化유리가 生成될것으로 期待된다.

### 3.2 鐵基板的 遠赤外線放射率

鐵板의 表面處理에 따른 放射率特性을 Fig. 5에 나타냈다. 未處理基板의 경우 全波長領域에 걸쳐

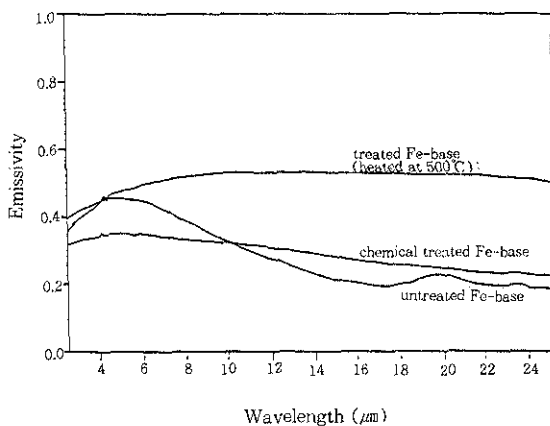


Fig. 5. FT-IR radiation spectra of the metal base with pre-treating conditions.

매우 낮은 방사특성을 나타내고 있는데, 이와같은 傾向은 金屬酸化物과는 달리 表面光澤을 나타내는 것은 表面이 擴散性인 것에 비해 比表面積이 적기 때문에 방사율이 낮은 것으로 여겨진다. 約 500°C에서 3분간의 기름구이로 표면이 다소 酸化된 것으로 여겨진 기판의 경우가 방사율이 높게 나타나고 있다. 이 결과는 철판표면의 조직의 변화와도 관계가 있는 것으로 생각된다. 철판에 酸化膜이 생성되면 遠赤外線의 放射率이 增加된다는 것은  $Fe < FeO < Fe_2O_3$  順으로 放射率이 높다는 것파도 잘 일치된다.<sup>14, 17-19)</sup>

### 3.3 FT-IR 分析

60°C에서 乾燥한 겔 및 400~800°C에서 각각 約 3分間 熱處理한 겔들의 微細構造變化를 糾明하고저 FT-IR 실험결과를 Fig. 6 나타냈고, 실험에 나타난 각 特殊band에 대한 分析은 Table 1에 나타냈다. 乾燥 및 低溫으로 처리된 겔들은 3420  $cm^{-1}$  부근의 -OH stretching band와 變각진동에의

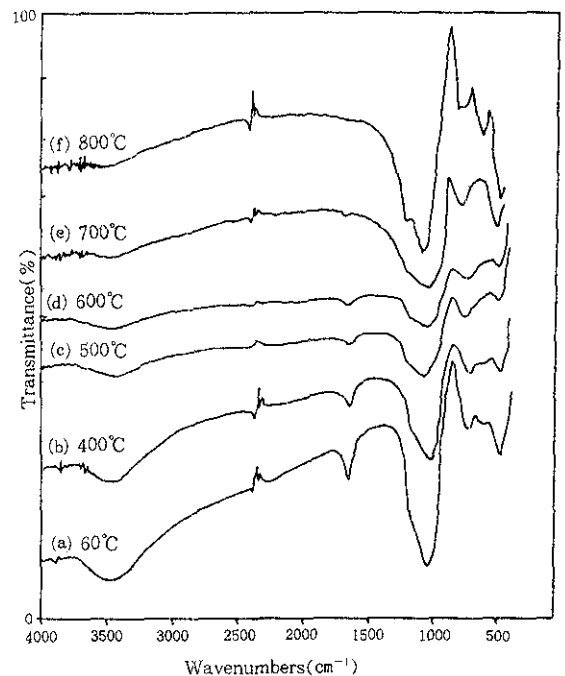


Fig. 6. FT-IR radiation spectra of the metal-alkoxy gel heat treated at various temperatures.

Table 1. IR frequencies (cm) and band vibration assignments of the gel<sup>(20-22)</sup>

| Wavenumbers (cm <sup>-1</sup> ) | Vibration assignment  |
|---------------------------------|---|
| 3450                            | -OH vibration   |
| 1632                            | H-O-H deformation   |
| 1550                            | organic radicals  |
| 540-640                         | Al-O bond in the AlO <sub>6</sub>                                   |
| 580-600                         | Si-O network defect   |
| 700-780                         | Al-O bond in the AlO <sub>4</sub> tetrahedra                        |
| 780-800                         | Si-O-Si symmetric stretching SiO <sub>4</sub> unit                  |
| 960, 950-1100                   | Si-OH stretching, and stretching in the SiO <sub>4</sub> tetrahedra |
| 1050-1060                       | Al-O bond in Si-O-Al  |
| 1050-1200                       | Si-O-Si and Si-O-Al asymmetric stretching                           |

한 1640 cm<sup>-1</sup> 부근의 H-O-H band를 나타내며, 또한 有機物과 관련된 2970, 1460, 1380 cm<sup>-1</sup>의 吸收band들은 -CH의 bending 또는 stretching 등에 의한 것으로 여겨지며 이 결과는 아무리 얇은 塗布膜일지라도 400°C 이하에서 3분 열처리한 것은 未反應物의 有機物이나 유리된 水分이 微量이나마 殘留하고 있음을 알 수 있다. 乾燥겔에서 960~1100 cm<sup>-1</sup> band가 sharp하게 나타난 것은 가수분된 Si-OH 결합의 결과이고, 800°C로 고온 처리된 시료에서는 Al-O, Si-O, Si-O-Si, Si-O-Al 결합과 관련된 특수 band들이 나타나고 있어 700~800°C에서 처리된 塗布膜은 수분이나 유기물이 거의 없는 산화물의 LAS계 glass 또는 glass-ceramics임을 推定할 수 있다.

3. 4 被塗布膜의 放射特性

各種 材料의 放射特性에 미치는 要因에는 많은 原因이 作用하지만 특히 시료의 表面組織이나 도포된 재료의 厚께와 濃도에 따라 방사특성이 변화할 것으로 생각된다. 본 실험에서는 表面處理된 금속기판상에 塗布액의 도포回數를 1, 3, 5회로 增加시키고, 塗布된 겔의 融着 또는 結晶化를 위하여 열처리온도를 각각 500°C~700°C로 변화시켜 이들의 시료에 대한 방사특성을 비교 檢討하였다. 본 實驗結果를 Fig. 7~10에 각각 나타냈다.

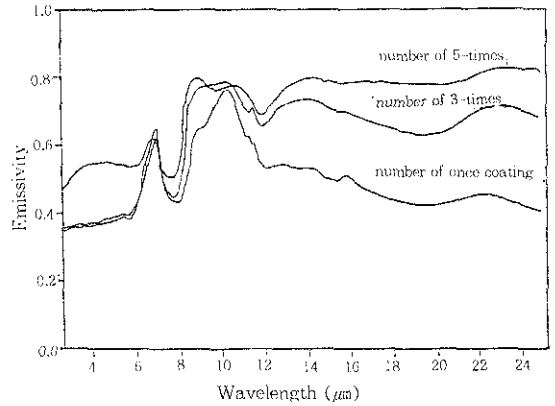


Fig. 7. FT-IR radiation spectra of the films heated at 500°C with various coating repeats.

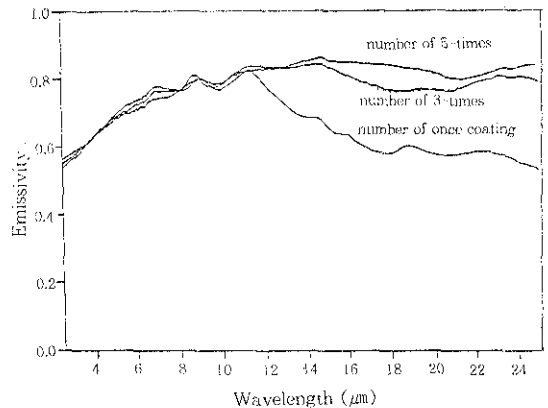


Fig. 8. FT-IR radiation spectra of the films heated at 700°C with various coating repeats.

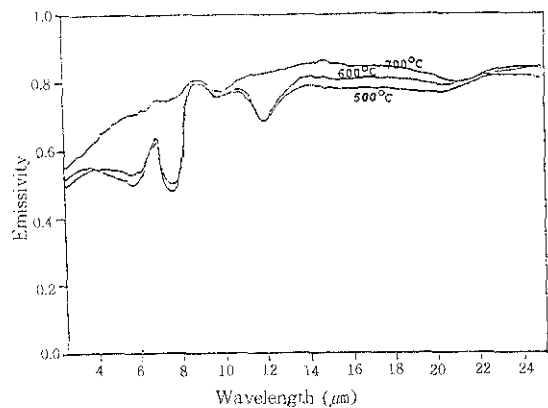


Fig. 9. FT-IR radiation spectra of the films heated at various temperatures.

1회 도포하여 형성된 막의 경우에는 500°C 또는 700°C로 熱處理하여도 피막이 얇아서 투명한 얇은 막의 투과로 인하여 金屬基板上의 干涉을 받아 全波長範圍에서 0.6이하의 낮은 방사율을 나타내고 있다. 그러나 塗布되기전의 無機溶媒法으로 처리된 시료에 비하면 약 20(%)정도가 增加된 것을 알 수 있다. 기공구이로 表面에 酸化鐵이 생성된 前處理試片에 비하면 떨어지고는 있으나 表面에 被膜이 형성된 試料에서는 모두가 Si-O-Si (SiO<sub>2</sub>; tetrahedra), Si-O-Al 등의 symmetric, asymmetric stretching 및 bending 등의 影響으로 6~12 $\mu$ m까지 이들의 固有의 放射 band를 나타내고 있다. 塗布回數, 즉 薄膜의 두께가 增加될수록 방사율은 增加됨을 알 수 있다. Fig. 7에 나타내고 있는 것과 같이 500°C의 경우는 遠赤外線영역에서 거의 같은 放射率을 나타내고 있으나 3회나 5회로 處理한 경우는 波長 12 $\mu$ m 이상의 長波域에서는 방사율의 증가를 나타내고 있으며 이들의 全放射率은 각각 약 0.66, 0.68程度를 나타내고 있다. 700°C로 열처리한 경우, Fig. 8에 나타낸 바와 같이 短波長 領域에서도 높은 방사율을 보이다가 12 $\mu$ m 이상의 波長 領域에서는 0.8 이상의 比較的 均 한 방사특성을 나타내고 있으며 5회 coating 한것은 全放射率이 약 0.84로 높게 나타나고 있다. 또한 Fig. 9는 처리온도별로 막막의 방사율을 비교한 것으로 처리온도가 높을수록 높은 방사율을 나타내는 것은  $\beta$ -spodumene의 生成效果로 判斷된다<sup>23)</sup>. 한편 방사발산도는 Fig. 10에서 나타낸 바와 같이 700°C의 경우 黑體의 最大強度를 나타내는 中心波長 6.2 $\mu$ m와 같은 band를 나타내었으나 500°C와 600°C의 경우에는 중심파장이 8.4 $\mu$ m附에 나타났다. 이와같은 傾向은 8.4 $\mu$ m에서의 에너지보다 6.2 $\mu$ m에서의 강도가 크기 때문에 判斷된다. 全領域에 걸친 全放射에너지는 500°C와 600°C의 경우에는  $1.776 \times 10^3 \text{ W/m}^2 \mu\text{m}$ 를 나타내었고, 700°C일때는  $2.254 \times 10^3 \text{ W/m}^2 \mu\text{m}$ 의 높은 강도를 나타냄을 알 수 있다.

以上の 結果를 綜合하면 熱放射體의 방사특성을 左右하는 主要原因中の 하나는 방사체에 사용되는 放射材料의 방사율이다. 또한 같은 물질에 있어서도 燒成溫度에 따른 生成結晶相, 表面溫度,

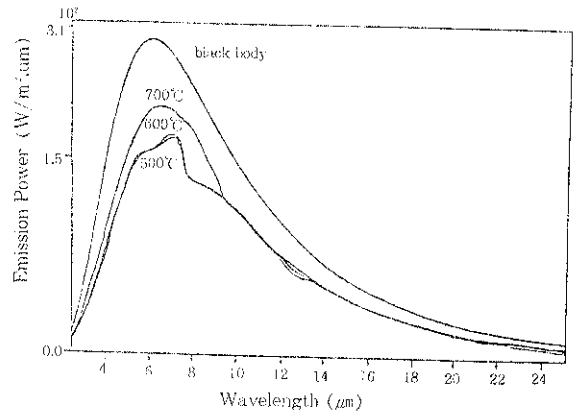


Fig. 10. Emission power of the alkoxy-derived films heated at various temperatures.

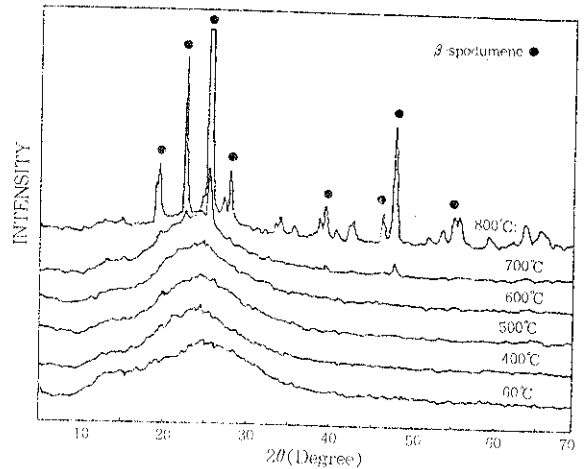


Fig. 11. XRD patterns of the alkoxy-derived films at various heat-treated temperatures for 3 min.

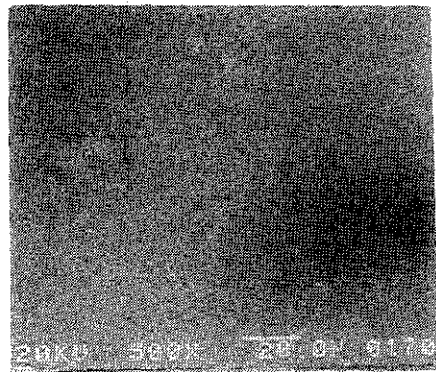
構造, 表面의 狀態 등에 따라 相異한 放射形態를 나타낸다. 여기에서는 방사율이 높은  $\beta$ -spodumene의 결정상이 析出될수있는 LAS계의 비정질 물질은 실온에서 먼저 도포하고, 塗膜을  $\beta$ -spodumene이 생성되는 온도에서 融着 및 結晶化시킴으로서 構造的變化에 의한 分子單位의 에너지吸收가 발생하고 이에 相應하는 遠赤外線範圍의 에너지放出에 의하여 放射率이 크게 向上된 것으로 判斷된다.

### 3.5 XRD 分析

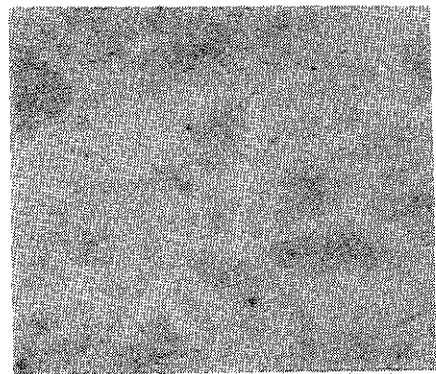
合成젤의 熱處理溫度에 따른 結晶相 生成與否를 確認하기 위하여 塗液을 60°C에서 乾燥시킨 건조겔과 이를 400°C, 500°C, 600°C, 700°C 및 800°C에서 각각 열처리한 시료의 XRD分析結果를 Fig. 11에 나타내었다. 600°C까지 열처리한 겔은 非晶質임이 확인되었고 DTA의 실험결과에서 확인된 바와 같이 發熱피크와 거의 일치되는 溫度附近인 700°C에서는  $\beta$ -spodumene( $d$ :3.45Å, 1.66Å, 1.62Å)의 特性 피크가 확인되었다. 800°C에서 열처리한 시료의 경우 放射率이 높았던 것은  $\beta$ -spodumene 결정이 생성된것과도 일치된다<sup>23)</sup>. LAS계의 얇은 겔膜이 700°C의 낮은 온도에서 3~5분사이에 결정이 석출될수 있는것은 기판의 Fe 또는 FeO 등의 觸媒影響도 있을 것이고 또한 助核劑로 添加된 TiO<sub>2</sub>의 效果도 큰 것으로 생각된다<sup>24)</sup>.

### 3.6 薄膜의 微細構造

塗布工程을 600°C 및 700°C에서 각각 5회反復한 塗布膜의 表面狀態를 金屬顯微鏡으로 觀察하여 그 결과를 Fig. 12에 나타냈다. 600°C로 열처리한 박막의 경우는 透明한상태인 유리相임을 알 수 있고 700°C에서 處理된것은 結晶이 생성된 것을 識別할 수 있다. Fig. 13은 SEM으로 薄膜의 두께를 觀察한 것이다. 電子顯微鏡寫眞 (a)는 塗布 이전의 鐵板의 側面이며, (b)는 5회의 塗布工程에서 열처리온도가 400°C인것을 나타낸 것인데 도포겔의 두께는 약 4 $\mu$ m로 比較的 多孔性인 狀態를 나타낸다. SEM寫眞 (c)의 경우는 도포공정을 5회反復處理한것으로 700°C에서 처리하여 結晶화된 상태를 나타낸 것이다. 겔膜은 열처리온도가 높아 지므로 膜의 두께는 약 1 $\mu$ m까지 收縮된것을 確認할 수 있다. 이와 같은 形狀은 LAS系の monolith 경우와 같이 熱處理溫度가 650°C以上이 되면 겔이 熔融되어 氣孔이 減少되면서 粘性收縮이 일어나고 緻密화된 뒤에 結晶이 析出된 것으로 생각된다<sup>25)</sup>. 顯微鏡觀察結果 700°C의 열처리온도에서 結晶析出을 確認할 수 있어 XRD結果나 放射率實驗結果와도 一致된다. 本 實驗에서 700°C라는 低



(a)



(b)

Fig. 12. Metallurgical microscope photographs of the films surface coated on Fe-base.

(a) film heated at 600°C for 3 min.

(b) film heated at 700°C for 3 min.

溫에서 鐵板上에 약 1 $\mu$ m 두께의 緻密한  $\beta$ -spodumene 結晶을 塗膜할 수 있다는 것이 確認되었다.

## 4. 結 論

졸-겔法으로 鐵基板上에 결정화 유리 박막을 형성하여 遠赤外線의 放射特性을 附與시키기위한 以上の 實驗結果를 要約하면 다음과 같다.

1) 묽은 졸溶液을 噴霧方法으로 鐵板에 塗布하여 比較的放射率이 높은  $\beta$ -spodumene 結晶을 700°C에서 析出し킬 수 있었으며, 薄膜은 약 1 $\mu$ m의 두께를 얻을 수 있었다.



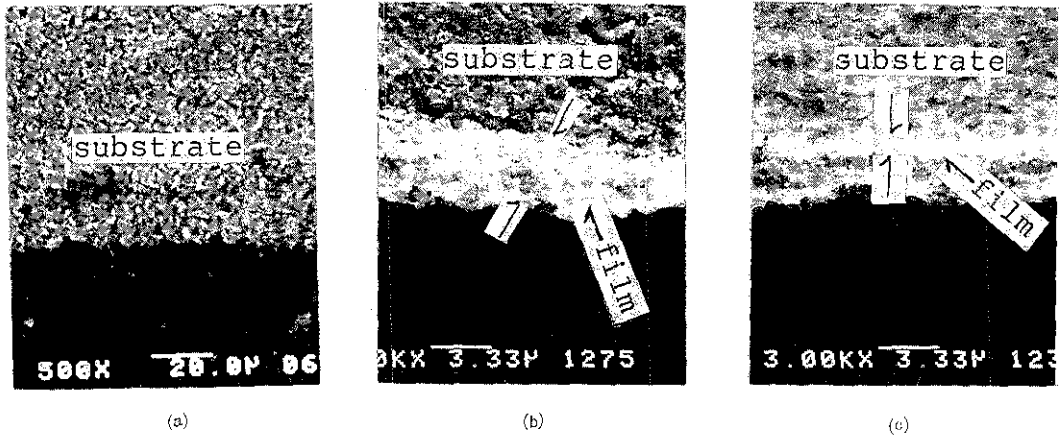


Fig. 13. SEM photographs of the fractured surface of coated films and Fe-base.  
 (a) uncoated Fe-base (iron substrate).  
 (b) gel film coated on Fe-base.  
 (c) crystallized gel-film coated on Fe-base.

2) 遠赤外線の放射率が 약 0.4로 낮은 鐵基板을 0.84까지 向上시킬 수가 있었고. 結晶이 析出된 film의 放射發散도는 黑體가 나타내는 中心波長  $6.2\mu\text{m}$ 이고 全放射에너지는  $2.254 \times 10^3 \text{W/m}^2$   $\mu\text{m}$ 를 나타내었다.

### 참고문헌

1. L. Holland : Vacuum Deposition of Thin Films, Chapman & Hall, London, (1953)
2. L. I. Maissel, & R. Glang : Handbook of Thin Film Technology, McGraw-Hill, New York, (1970)
3. F. P. Carroll, O. H. Joeseeph, & John : Vapor Deposition, John Wiley & Sons, New York, (1966)
4. H. Schroder : Phys. Thin Films, 5 (1969) 87
5. D. Ganguli D. Kundu, and L. Mater : Sci. Lett. 3 (1984) 503
6. Sumio Sakka : Science and Technology of Sol-Gel Method, Agne, Japan, (1988)
7. 作花濟夫 :ゾルーグル의科學, 8, 承風社,日本 (1985).
8. S. Sakka : Transactions of the Indian Ceram. Soc., 46, (1987)1
9. J. D. Mackenzie : Ultra Structure Processing of Ceramics, Glasses and Composites, John Wiley and Sons, 15 (1988)
10. 池上良一 : 遠赤外線の工業加熱分野への應用, セラミック, 23 (1988) 322
11. 河本康太郎 : 遠赤外線の照明への應用, セラミック, 23 (1988) 327
12. 伊藤和喜 : 赤外線の標準, 照明學會誌, 73(1), (1989)24
13. 宮森 樹外 : 赤外線 セーターの分光放射強度の測定, 東京都立工業技術 研究報告,16, 55 (1987)
14. 河本康太郎 : 日本材料科學, 14 (1977) 267
15. 芳賀幸明 : 日本電熱協會, 22 (1985)6
16. K. Shigiyama, M.Akiyama, K. Kitahori, T. Yoshikawa, K. Nakamura and E. Yyamaka : National-Technical Report, 18 (1972)153
17. 高嶋廣夫 : 日本窯業協會誌, 90 (1982) 373
18. ibid. : 機能材料, 9-20, 技報堂, (1987)
19. 木村嘉孝 : 日本電熱協會, No. 20, (1985)24
20. M. Decottignies, J. Phalippou and, J. Zarycki : J. Mat. Sci., 13 (1978)2605
21. M. Prassas and L. L. Hench : Ultrastructure Processing of Ceramics, Glasses and Composites, John Wiley, New York(1984)100.

22. C. Jeffrey Brinker and G. W. Scherer : Sol-Gel Science, E. I. du pont de Nemours, (1990) 541
23. 山本博孝外 : 日本窯業協會誌, 89 (1981) 30
24. P. W. Mcmillan : Glass-Ceramics, Academic Press, London and New York, (1984)63
25. J. S. Yang and S. Sakka : J. Mat. Sci., 28 (1991)1827